

## بررسی تأثیر پرتو فرابنفش B بر میزان تولید آتروپین و فعالیت آنزیمهای آنتی‌اکسیدانی در ریشه‌های مویین گیاه شابیزک (*Atropa belladonna L.*)

بهنام کارجو اجیلو<sup>\*</sup> و محمد فتاحی\*

ایران، ارومیه، دانشگاه ارومیه، دانشکده کشاورزی، گروه علوم باگبانی

تاریخ دریافت: ۱۳۹۷/۰۶/۲۵ تاریخ پذیرش: ۱۳۹۷/۰۴/۱۰

### چکیده

شابیزک (L.) *Atropa belladonna* یکی از مهمترین گیاهان دارویی خانواده سیب زمینی است که به واسطه داشتن ترپان آلکالوئیدهای آتروپین و اسکوپولامین دارای اهمیت می‌باشد. استفاده از کشت ریشه مویین به علت رشد سریع، زمان دو برابر شدن کوتاه، سهولت نگهداری و توانایی سنتز طیف گسترده‌ای از ترکیبات شیمیایی، مزیتهای بیشتری را به عنوان منبع پیوسته برای تولید متابولیتهای ثانویه ارزشمند ایجاد می‌نماید. اثرات ناشی از کاهش لایه اُزن و افزایش اشعه فرابنفش امروزه توسط بسیاری از محققان مورد بررسی قرار گرفته است. در این تحقیق، اثر سطوح مختلف پرتو فرابنفش B بر تولید آتروپین و فعالیت برخی آنزیمهای آنتی‌اکسیدانی در کشت ریشه‌های مویین گیاه شابیزک مورد مطالعه قرار گرفت. پرتو UV-B در مدت ۳ روز و هر بار به مدت‌های ۴، ۸ و ۱۲ دقیقه که به ترتیب ۱۳، ۲۶ و ۳۹ کیلوژول بر متر مربع بود اعمال گردید. نتایج نشان داد که با افزایش پرتو UV-B وزن تر ریشه‌های مویین کاهش یافت. این پرتو میزان تولید آتروپین را در مقایسه با ریشه‌های مویین شاهد افزایش داد به طوری که بیشترین میزان آتروپین در انرژی ۲۶ کیلوژول بر متر مربع به دست آمد. همچنین پرتو UV-B فعالیت آنزیمهای آنتی‌اکسیدانی کاتالاز، گایاکول پراکسیداز و آسکوربیت پراکسیداز را در مقایسه با ریشه‌های مویین شاهد به طور معنی داری در سطح احتمال ۱ درصد افزایش داد. طبق نتایج به دست آمده از این آزمایش، تیمار با پرتو UV-B ۱۰۰ می‌تواند یکی از مؤثرترین روشها برای افزایش میزان تولید آتروپین و فعالیت آنزیمهای آنتی‌اکسیدانی در ریشه‌های مویین گیاه شابیزک باشد.

**واژه‌های کلیدی:** آتروپین، آنزیمهای آنتی‌اکسیدانی، پرتو UV-B، شابیزک، ریشه‌های مویین

\* نویسنده مسئول، تلفن: ۰۹۱۴۴۲۴۳۲۳۶، پست الکترونیکی: mo.fattahi@urmia.ac.ir

### مقدمه

گونه‌های گیاهی در حال انقراض از طریق نگهداری در شرایط انجماد و تولید متابولیتهای ثانویه در شرایط درون شیشه‌ای و کشت سوسپانسیون سلوی و کشت اندام می‌باشد (۲۸). از آنجایی که محل بیوستز ترپان آلالکالوئیدها ریشه است، دست‌ورزی گیاهان حاوی این دسته از ترکیبات با استفاده از آگروباکتریوم رایزوژنر، در فنون کشت بافت و بیوتکنولوژی، برای تولید این متابولیت‌ها از اهمیت زیادی برخوردار است (۵). پرتوهای فرابنفش ۸ تا ۹ درصد طیف خورشید را شامل می‌شوند و

شابیزک (L.) *Atropa belladonna* گیاهی است از خانواده سیب زمینی (Solanaceae) که مهمترین منبع تجاری ترپان آلالکالوئیدهایی مانند آتروپین و اسکوپولامین محسوب می‌شود و به دلیل اثرات گشاد کردن مردمک چشم، ضد اسپاسم، آنتی‌کولینرژیک، آرام بخش و مسكن از آن در صنعت داروسازی استفاده می‌شود (۱۹). کشت بافت گیاهی در زمینه گیاهان دارویی کاربردهای متعددی دارد که مهمترین آنها عبارتند از: تکثیر انبوه و سریع گیاهان دارویی یکنواخت از لحاظ محتوای ژنتیکی و کیفی، حفظ

دارد، و ریشه‌های گیاه منبع غنی از این ماده هستند لذا از گیاه شابیزک در این تحقیق استفاده گردید.

### مواد و روشها

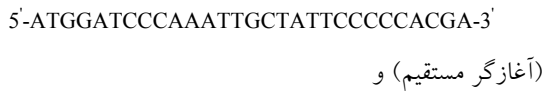
**کشت گیاه:** بذرهای گیاه شابیزک در پاییز ۱۳۹۴ از شرکت پاکان بذر اصفهان تهیه گردید. به منظور تسریع جوانه زنی و شکست خواب، بذرها ابتدا به مدت ۱ ماه در یخچال با دمای ۴ درجه سانتی گراد نگهداری شدند، سپس با اسید سولفوریک ۵۰ درصد به مدت ۲ دقیقه تیمار گردیدند. بذور تیمار شده، در زیر هود لامینار به مدت ۱ دقیقه در اتانول ۷۰ درصد و به مدت ۱۰ دقیقه در هیپوکلریت سدیم ۲/۵ درصد کلر فعال ضدغفاری شدند. در نهایت، پس از سه بار آبکشی با آب مقطر استریل هر بار به مدت ۵ دقیقه، در محیط کشت MS حاوی ۳ درصد ساکارز و ۰/۷ درصد آگار کشت گردیده و در دمای ۲۵ درجه سانتی گراد و شرایط نوری ۱۶ ساعت روشنایی و ۸ ساعت تاریکی نگهداری شدند.

**القای ریشه موین:** به منظور القای ریشه‌های موئین در شابیزک از سویه A7 آگروباکتریوم رایزوژنر به روش تزریقی استفاده شد. در روش تزریقی، ریزنمونه‌های کوتیلیدونی یک هفته‌ای تهیه و با استفاده از سرنگ انسولین آگشته به باکتری در LB جامد در بخش پشتی ریزنمونه‌های کوتیلیدونی، زخم‌هایی ایجاد شد. سپس ریزنمونه‌های تلقیح شده بر روی محیط کشت MS حاوی ۷ گرم بر لیتر آگار کشت و به مدت ۴۸ ساعت در دمای ۲۵ درجه سانتی گراد و شرایط تاریکی نگهداری شدند. پس از ۴۸ ساعت کشت تمام، ریز نمونه‌ها با آب مقطر استریل حاوی ۳۰۰ میلی گرم بر لیتر سفووتاکسیم به مدت ۵ دقیقه شستشو قرار داده شده و در نهایت بر روی محیط کشت تنظیم کننده رشد منتقل شدند. هر یک هفته یکبار واکشت ریزنمونه‌ها انجام می‌گرفت و در هر دوره واکشت، غلظت سفووتاکسیم به میزان ۵۰ درصد کاهش داده شد تا در نهایت

به سه باند (UV-A ۳۲۰-۴۰۰nm)، UV-B ۲۸۰-۳۲۰nm) و UV-C ۲۰۰-۲۸۰nm) تقسیم می‌گردند که به دلیل داشتن طول موج پایین نسبت به نور مرئی دارای ارزی زیادی برای نفوذ به بافتها می‌باشند. در میان موجودات زنده، گیاهان به دلیل نیاز اجتناب ناپذیرشان به نور برای انجام فتوستز، بیشتر تحت تأثیر پرتوهای فرابنفش قرار می‌گیرند و آسیب پذیرتر هستند (۳). کاهش لایه آژن منجر به افزایش تابش اشعه فرابنفش به سطح زمین شده است (۲۰). پاسخ گیاهان به اشعه UV به گونه گیاهی، رقم کشاورزی، مراحل رشد و نمو، وضعیت رشد و میزان نور UV بستگی دارد (۱۶). بر اساس بررسی نتایج مقالات متعدد در زمینه با تأثیر مؤثر اشعه UV-B بر تولید ترکیبات مختلف و فعالیت آنزیمهای آنتی‌اکسیدانی، از این اشعه در آزمایش خود استفاده گردید. اشعه UV-B باعث تولید رادیکال‌های آزاد اکسیژن می‌شود که بسیار فعال بوده و می‌توانند با ماکرومولکولهای حیاتی مثل لیپیدها، پروتئین‌ها و اسیدهای نوکلئیک و سایر ترکیبات سلولی واکنش داده و اعمال طبیعی سلول را مختلف کنند (۲۳، ۲۲ و ۲۱). اشعه ماوراء بنفس پاسخ‌های حفاظتی در گیاهان تولید نموده و از طریق حذف رادیکال‌های آزاد، اثرات UV-B را در داخل بافت‌های گیاهی کاهش می‌دهد (۷). در گیاهان ساز و کارهای دفاعی، شامل ساز و کارهای آنزیمی و غیر آنزیمی تکامل یافته است که آنها را در مقابل این پرتو حفاظت می‌کند (۱۰). مکانیسم‌های آنزیمی شامل فعالیت آنزیمهای سوپراکسیداز دیسموتاز، پراکسیداز، کاتالاز، گلوتاپتون، ردوكتاز و غیره هستند (۱۷). در حفاظت غیر آنزیمی نیز تولید آنتی‌اکسیدانهای غیر آنزیمی، نظیر آسکوربیات اسید، کارتونئیدها، فلاونوئیدها، آنتوسیانین‌ها و آلکالوئیدها افزایش می‌یابد (۱۵). در این تحقیق اثر تابش اشعه UV-B بر میزان رشد ریشه موین، تولید آتروپین و فعالیت آنزیمهای آنتی‌اکسیدانی در ریشه‌های موین گیاه شابیزک مورد مطالعه قرار گرفت. به دلیل اینکه آتروپین یک ترکیب ارزشمند بوده و در صنایع داروسازی بیشترین کاربرد را

سانتی‌گراد نگهداری شدند. در مرحله بعدی، ویال‌ها به مدت ۱۰ دقیقه با سرعت ۱۰۰۰۰ دور در دقیقه سانتریفیوژ شدند و پس از خارج کردن مایع رویی، ویال حاوی رسوب DNA توسط اتانول ۷۰ درصد شستشو و پس از تبخیر اتانول، ۱۰۰ میکرولیتر بافر TE به رسوب حاصل اضافه و به مدت ۲۴ ساعت در دمای ۴ درجه‌ی سانتی‌گراد نگهداری گردید تا رسوب DNA در بافر TE به طور کامل حل شود. سپس محلول DNA حاصل، جهت استفاده‌های بعدی در دمای ۲۰-درجه‌ی سانتی‌گراد نگهداری گردید.

کمیت و کیفیت DNA استخراج شده با استفاده از روش اسپکتروفوتومتری (T80 PG Instruments, UK) و همچنین روی ژل آگارز ۱ درصد تعیین شد. جهت تایید وضعیت ترازیختی ریشه‌های مویین احتمالی، از روش PCR با آغازگرهای اختصاصی ژن‌های *rol B* استفاده شد. توالی آغازگرها به صورت زیر بود:



(آغازگر معکوس). برنامه PCR شامل یک چرخه و اسرشت‌سازی اولیه در دمای ۹۴ درجه‌ی سانتی‌گراد به مدت ۵ دقیقه، ۳۵ چرخه شامل و اسرشت‌سازی در دمای ۹۴ درجه‌ی سانتی‌گراد به مدت ۱ دقیقه، اتصال آغازگرهای در دمای ۶۰ درجه‌ی سانتی‌گراد به مدت ۱ دقیقه و ۲۰ ثانیه، بسط در دمای ۷۲ درجه‌ی سانتی‌گراد به مدت ۱ دقیقه و ۳۰ ثانیه و یک چرخه بسط نهایی در دمای ۷۲ درجه‌ی سانتی‌گراد به مدت ۱۰ دقیقه انجام گردید. PCR در دستگاه ترموسایکلر مدل 60-Well Cycler Veriti® Thermal انجام شد. محصولات PCR پس از الکتروفورز در ژل آگارز ۱ درصد در دستگاه ژل داک مدل 212 Gel Logic 212 (Carestream Health, آمریکا) مورد مشاهده و عکس برداری قرار گرفتند.

از محیط کشت حذف گردید. در نهایت ریشه‌های القاء شده از ریزنمونه‌ها جدا و برای رشد بیشتر در محیط کشت MS جامد بدون تنظیم کننده رشد کشت شده و در اتاقک رشد با دمای ۲۵ درجه سانتی‌گراد در تاریکی نگهداری شدند.

**آنالیز PCR:** برای تایید مولکولی ریشه‌های مویین، استخراج DNA از ریشه‌های مویین به دست آمده در محیط جامد و ریشه حاصل از ریزنمونه تلقیح نیافتة (به عنوان شاهد) به روش CTAB (۱۳) انجام گرفت. ۰/۵ گرم از بافت ریشه‌های موئین حاصل از القاء ریزنمونه‌های کوتیلدونی شابیزک با سویه A7 اگروباکتریوم رایزوژنز و نیز بافت ریشه‌ی غیر ترازیخت حاصل از جوانه‌زنی بذور کشت شده، با استفاده از نیتروژن مایع در داخل هاون چینی کوبیده شد و پودر حاصل به ویال‌های ۱/۵ میلی‌لیتری منتقل گردید. سپس ۸۰۰ میکرولیتر از بافر استخراج CTAB به ویال‌ها اضافه و توسط ورتکس یکنواخت گردید. پس از افزودن ۳ میکرولیتر آنزیم RNAase به ویال‌ها، مجدداً توسط ورتکس مخلوط شدند و به مدت ۴۵ الی ۶۰ دقیقه، در بن ماری ۶۵ درجه سانتی‌گراد قرار گرفتند. سپس نمونه‌ها از بن ماری خارج و به مدت ۵ دقیقه در ظرف حاوی یخ نگهداری شدند. در مرحله بعد، ۵۰۰ میکرولیتر از محلول کلروفرم - ایزوآمیل الکل (۱:۲۴) به نمونه‌ها اضافه و حدود ۱۰ دقیقه به صورت سر و ته کردن مخلوط گردید، تا زمانی که رنگ محلول حاصل به سفید شیری تغییر رنگ دهد. سپس نمونه‌ها به مدت ۱۵ دقیقه، در دمای ۴ درجه‌ی سانتی‌گراد و با سرعت ۱۳۰۰۰ دور در دقیقه سانتریفیوژ گردیدند. پس از سانتریفیوژ، مایع رویی حاصل برداشته شده و به ویال‌های جدید منتقل و هم حجم مایع رویی برداشت شده (۶۰۰ میکرولیتر)، ایزوپروپانول سرد (۲۰-درجه سانتی‌گراد) و ۰/۱ حجم مایع رویی استات سدیم ۳ مولار، به درون ویال‌ها اضافه کرده و پس از چند بار سر و ته کردن ویال‌ها مشاهده‌ی کلاف DNA در داخل ویال‌ها، به مدت ۱ ساعت در دمای ۲۰ درجه‌ی

را از محیط مایع ۱/۲MS خارج کرده و پس از آبگیری توسط کاغذ صافی وزن آنها اندازه‌گیری و یادداشت برداری شد و برای تعیین وزن خشک ریشه‌های مویین، ریشه‌ها به مدت ۲ روز در هوای آزاد اتاق نگهداری شدند. سپس وزن نمونه‌های خشک شده اندازه‌گیری و ثبت گردید. نمونه‌ها توسط ترازوی دیجیتال حساس با دقت ۰/۰۰۱ گرم وزن شدند و وزن بر اساس گرم گزارش گردید.

**استخراج آلکالوئید آتروپین:** استخراج آلکالوئیدها به روش Kamada و همکاران (۱۹۸۶) با اندکی تغییر انجام شد. بر اساس این روش، مقدار ۰/۵ گرم از ریشه‌های مویین خشک شده و پودر گردید و داخل ارلن مایر ۱۰۰ میلی لیتری منتقل شدند. سپس کلروفرم، متانول و آمونیاک ۲۵ درصد، به نسبت ۱۵:۵:۱ به نمونه‌های گیاهی اضافه شده و به مدت ۱۰ دقیقه و با دمای ۴۰ درجه سانتی‌گراد التراسونیک شدند. سپس به مدت ۱ ساعت در دمای اتاق قرار گرفتند. در مرحله بعد، پس از عبور از صافی و دو مرتبه شستشوی کاغذ صافی با ۱ میلی لیتر کلروفرم، برای تبخیر فاز کلروفرمی از دستگاه روتاری اوپراتور (تبخیر کننده دور) استفاده گردید. به عصاره باقیمانده و خشک شده ته بالن، ۵ میلی لیتر کلروفرم و ۲ میلی لیتر اسید سولفوریک ۱ نرمال اضافه کاملاً به هم زده شد (اسیدی کردن محیط باعث می‌شود آلکالوئیدها به شکل نمکی و باردار درآمده و در اثر استخراج مایع - مایع به فاز آبی منتقل شوند). در مرحله بعد، با ریختن مخلوط به دست آمده داخل قیف دکاتور دو فاز تشکیل شد. فاز کلروفرمی جدا و دور ریخته شد و فاز آبی حاوی آلکالوئیدها به یک بشر منتقل شد و pH آن روی یخ و به وسیله آمونیاک ۲۵ درصد تا ۱۰ تنظیم گردید (افزودن آمونیاک به محلول باعث می‌شود محیط قلیایی شود و آلکالوئیدها به شکل باز آزاد درآمده و در اثر استخراج مایع - مایع به فاز کلروفرمی منتقل شوند). محلول قلیایی به داخل قیف دکاتور ریخته شد و آلکالوئیدها یک مرتبه توسط ۲ میلی لیتر و دو مرتبه توسط ۱ میلی لیتر کلروفرم استخراج شدند. فاز کلروفرمی

اعمال تیمار: پس از رشد مناسب ریشه‌ها در محیط کشت جامد و تایید تاریخی آنها بوسیله PCR، بهترین لاین از نظر میزان رشدی (انشعابات بیشتر در محیط جامد) انتخاب و برای انجام آزمایش مورد استفاده قرار گرفت. جهت بررسی اثر UV-B (توسط یک لامپ ۲۰ وات، ۱ HITAGH) و مدت زمان تیمار ۴، ۸ و ۱۲ دقیقه (براساس بررسی مقالات متعدد (۲۰۱۲، ۳۵ و ۳۰)) و ارزیابی اولیه از این میزان شدت نور استفاده گردید) که طبق فرمول  $P = P_0 \times T^{1/2}$  توان لامپ،  $T$ : زمان تیمار،  $M$ : مساحت اتاق که مجهر به نور-UV بودن در زیر هود لامینار انتقال داده شد و یک هفته پس از هم وزن کردن ریشه‌ها شروع به اعمال تیمار UV-B شد که این تیمار با ۳ تکرار و در ۳ سطح: ۱۳، ۲۶ و ۳۹ کیلوژول به LUTRON UV لایت متر و نورسنج دیجیتال مدل LUTRON به دست آمد و مقدار کل آن از طریق ساعت نور UV محاسبه گردید. ۲ گرم از ریشه‌های موئین به ارلن مایرهای توری‌دار که حاوی ۲۰ میلی لیتر محیط کشت ۱/۲ MS مایع بودند در زیر هود لامینار انتقال داده شد و یک هفته پس از هم وزن کردن ریشه‌ها شروع به اعمال تیمار UV-B شد که این تیمار با ۳ تکرار و در ۳ سطح: ۱۳، ۲۶ و ۳۹ کیلوژول بر متر مربع به صورت یک روز در میان به مدت یک هفته در اتاق که تعییه شده انجام گردید. ارلن مایرهای حاوی محیط کشت پس از اعمال تیمار به مدت دو هفته در شیکر انکوباتور با دمای ۲۵ درجه سانتی‌گراد و در شرایط تاریکی و با دور ۱۱۰ دور در دقیقه نگهداری شدند. پس از ۲ هفته، ریشه‌ها از محیط کشت مایع خارج شده و پس از حذف رطوبت اضافی ریشه‌ها توسط کاغذ صافی، وزن تر آنها اندازه‌گیری شد. سپس ریشه‌های موئین به مدت ۲ روز در دمای اتاق، ۲۵ درجه سانتی‌گراد، هوا - خشک شده و وزن خشک آنها ثبت گردید. میزان فعالیت آنزیمهای آنتی‌اسیدانی اندازه‌گیری و در نهایت پس از استخراج آلکالوئیدها، آنالیزهای بیوشیمیایی به روش GC-MS انجام شد.

**اندازه‌گیری وزن تر و خشک ریشه‌های موئین:** به منظور تعیین وزن تر و خشک ریشه‌ها، پس از اعمال تیمار نمونه‌ها

گرددید سپس ۱ میلی لیتر بافر (Tris-HCl) ۵۰ میلی مولار با pH ۷/۵ به آن اضافه و توسط دسته هاون به طور کامل ساییده شد تا یک عصاره کاملاً همگن به دست آمد. هموژنات حاصل به ویالهای تمیز متقل و به مدت ۲۰ دقیقه در دمای ۴ درجه سانتی گراد با استفاده از دستگاه سانتریفیوژ یخچالدار، با سرعت ۱۲۰۰۰ دور در دقیقه سانتریفیوژ گرددید و در پایان محلول رویی از رسوب با دقت جدا شده و به ویالهای تمیز متقل گردید. عصاره خام حاصل برای سنجش فعالیت آنزیمهای کاتالاز، گایاکول پراکسیداز و آسکوربات پراکسیداز مورد استفاده قرار گرفت (۱۲).

**آنزیم کاتالاز (CAT; EC 1.11.1.6):** مخلوط واکنش شامل ۲/۵ میلی لیتر بافر فسفات پتاسیم ۵۰ میلی مولار (pH=۷)، ۲۰ میکرولیتر پراکسید هیدروژن ۳ درصد و ۲۰ میکرولیتر عصاره آنزیمی بود. فعالیت آنزیم کاتالاز به صورت کاهش در جذب طی ۱ دقیقه در طول موج ۲۴۰ نانومتر با استفاده از دستگاه اسپکتروفتومتر محاسبه شد. برای سنجش فعالیت کاتالاز از ضریب خاموشی ( $36.6 \text{ Mm}^{-1} \text{ cm}^{-1}$ ) استفاده شد (۱).

**آنزیم گایاکول پراکسیداز (GPX; EC 1.11.1.7) :** مخلوط واکنش شامل ۱/۴ میلی لیتر بافر فسفات پتاسیم ۵۰ میلی- مولار (pH=۷)، ۲۰۰ میکرولیتر گایاکول ۲۲ میلی مولار، ۲۰۰ میکرولیتر پراکسید هیدروژن ۱۰۰ میلی مولار و ۲۰۰ میکرولیتر عصاره آنزیمی بود. فعالیت آنزیم گایاکول پراکسیداز به صورت افزایش در جذب، طی ۱ دقیقه در طول موج ۴۷۰ نانومتر با استفاده از دستگاه اسپکتروفتومتر محاسبه شد. برای سنجش فعالیت آنزیم گایاکول پراکسیداز از ضریب خاموشی ( $26.6 \text{ Mm}^{-1} \text{ cm}^{-1}$ ) استفاده شد (۲۲).

**آنزیم آسکوربات پراکسیداز (APX; EC1.11.1.11.):** مخلوط واکنش شامل ۲ میلی لیتر بافر فسفات پتاسیم ۵۰ میلی مولار (pH=۷)، ۲۰۰ میکرولیتر پراکسید هیدروژن، ۲۰۰ میکرولیتر آسکوربات ۵۰ میکرومولار و ۱۰۰ میکرولیتر عصاره آنزیمی بود. فعالیت آنزیم آسکوربات

به دست آمده پس از افزودن سولفات سدیم خشک به منظور حذف آب موجود، از صافی عبور داده شده و کاغذ صافی توسط ۱ الی ۲ میلی لیتر کلروفرم شستشو داده شد. محلول صاف شده به وسیله روتاری اوپرатор در دمای ۴۰ درجه سانتی گراد تبخیر و ماده جامد به دست آمده که آلkalوئید کل نامیده می‌شود در ۲-۱ میلی لیتر متابولول خالص حل شد. در نهایت محلول به دست آمده جهت انجام آنالیز بیوشیمیابی داخل ویالهای کوچک ریخته شد (۱۱).

**شناسایی ترکیبات تشکیل دهنده عصاره:** برای شناسایی ترکیب‌های عصاره از دستگاه گاز کروماتوگرافی GC و گاز کروماتوگرافی متصل به طیفسنج جرمی (GC/MS) مستقر در آزمایشگاه پژوهشکده زیست فناوری پر迪س دانشگاه ارومیه استفاده شد. ۰/۵ میکرولیتر از نمونه به دستگاه GC تزریق شده و درصد ترکیب‌های تشکیل دهنده هر عصاره محاسبه گردید. و چون بیشترین ترکیب تشکیل دهنده هر عصاره آتروپین بود و از طرف دیگر نیز هدف مطالعه در این تحقیق سنجش میزان آتروپین بود.

**مشخصات دستگاه GC/MS :** از گاز کروماتوگراف متصل شده به طیفسنج جرمی مدل تراسی مجهز به ستون HP-5 MS به طول  $30 \text{ متر} \times 0.25 \text{ میلی متر} \times 0.25 \text{ میلی متر}$  و ضخامت لایه فاز ساکن برابر  $0.25 \text{ میکرومتر}$  استفاده شد. برنامه ریزی حرارتی ستون از دمای اولیه ۴۰ درجه سانتی گراد به مدت یک دقیقه شروع و بعد تا دمای ۱۶۰ درجه سانتی گراد افزایش یافت و در نهایت به ۲۸۰ درجه سلسیوس رسانده شد بطوری که هر دقیقه، ۴ درجه به دما افزوده می‌شد و در نهایت در دمای ۲۸۰ درجه، که در هر دقیقه ۵ درجه سانتی گراد به آن افزوده می‌شد، به مدت ۱۰ دقیقه نگهداشته و تنظیم شد. گاز حامل هلیوم بود که با سرعت ۱ میلی لیتر در دقیقه حرکت می‌کرد. انرژی یونیزاسیون نیز ۷۰ الکترون ولت بود.

**سنجش فعالیت آنزیمهای آنتی اکسیدانی:** ۰/۲ گرم بافت تر ریشه مویین وزن و به داخل هاون سرد روی یخ متقل

طوری که کمترین وزن تر ریشه‌های مویین (۷/۷۵ گرم) در انرژی ۳۹ کیلوژول بر متر مربع، و بیشترین وزن تر در نمونه شاهد (۱۰/۱۶ گرم) به دست آمد. تیمار UV-B تأثیر معنی داری بر وزن خشک ریشه‌های مویین نداشت (جدول ۱).

جدول ۱- نتایج تجزیه واریانس تأثیر نور UV-B بر رشد ریشه‌های مویین شابیزک

میانگین مربعات				
وزن خشک	منابع تغییرات	درجه آزادی	وزن تر (گرم)	
(گرم)				UV-B
۰/۰۰۵۶ <sup>ns</sup>	۴/۴۸۰ **	۳		
۰/۰۰۱۶	۰/۴۴۱	۸		اشتباه آزمایشی
				ضریب تغییرات (درصد)
۱۰/۲۱	۷/۳۰			

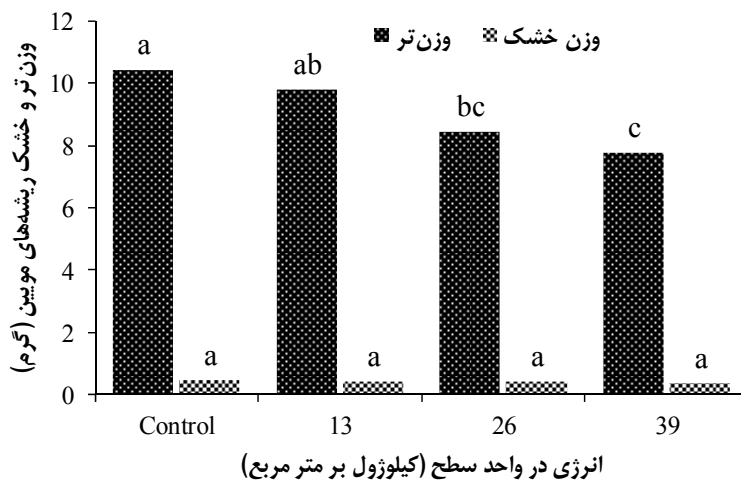
\* و \*\*: به ترتیب نشان‌دهنده اختلاف معنی دار و عدم وجود اختلاف معنی دار در سطح احتمال ۱ درصد می‌باشد.

پراکسیداز به صورت کاهش در جذب، طی ۱ دقیقه در طول موج ۲۹۰ نانومتر با استفاده از دستگاه اسپکتروفوتومتر محاسبه شد. برای سنجش فعالیت آسکوربات پراکسیداز از ضریب خاموشی ( $\text{cm}^{-1} \text{Mm}^{-1}$ ) استفاده گردید (۱۸)

تجزیه و تحلیل آماری: تمام آزمایشات در قالب طرح کاملاً تصادفی با سه تکرار انجام گردید. داده‌های حاصل در نرم افزار SAS 9.1 مورد تجزیه و تحلیل آماری قرار گرفتند و مقایسه میانگین داده‌ها بر اساس آزمون چند دامنه ای دانکن در سطح احتمال ۱ درصد انجام گرفت.

## نتایج

تأثیر اشعه UV-B بر رشد ریشه‌های مویین: نتایج تجزیه واریانس داده‌ها نشان داد که اختلاف معنی داری در سطح احتمال ۱ درصد بین تأثیر سطوح مختلف UV-B بر میزان رشد و وزن تر ریشه‌های مویین وجود داشت (جدول ۱). طبق (شکل ۱) با افزایش میزان انرژی در واحد سطح وزن تر (میزان رشد) ریشه‌های مویین کاهش یافته است به



شکل ۱- مقایسه میانگین تأثیر سطوح مختلف UV-B بر وزن تر و خشک ریشه‌های مویین شابیزک. حروف مشابه نشان‌دهنده عدم وجود اختلاف معنی دار در سطح احتمال ۱ درصد می‌باشد.

است. نتایج تجزیه واریانس نشان داد که سطوح مختلف اشعه UV-B تأثیر معنی داری در سطح احتمال یک درصد بر میزان تولید آتروپین داشت، به طوری که حداقل میزان

تأثیر اشعه UV-B بر تولید آتروپین در ریشه‌های مویین شابیزک: نتایج تجزیه واریانس سطوح مختلف UV-B بر میزان تولید آکالالوئید آتروپین در جدول ۲ نشان داده شده

میزان فعالیت آنژیمهای آنتیاکسیدانی ریشه‌های موین شایبزک در جدول ۳ نشان داده شده است. نتایج مقایسه میانگین نشان داد که سطوح مختلف نور UV-B، در سطح احتمال ۱ درصد تأثیر معنی‌داری بر میزان فعالیت آنژیمهای آنتیاکسیدانی کاتالاز، گایاکول پراکسیداز و آسکوربات پراکسیداز داشت. به طوری که بیشترین و کمترین میزان فعالیت آنژیم کاتالاز، به ترتیب در انرژی ۳۹ کیلوژول بر متر مربع و ریشه‌های شاهد مشاهده گردید (شکل ۳). همچنین بیشترین میزان فعالیت آنژیم گایاکول پراکسیداز، در انرژی ۲۶ کیلوژول بر متر مربع و کمترین میزان آن در ریشه‌های موین شاهد مشاهده گردید (شکل ۴). در حالی که بیشترین فعالیت آنژیم آسکوربات پراکسیداز در شدت ۱۳ کیلوژول بر متر مربع و کمترین میزان آن، در ریشه‌های موین شاهد به دست آمد (شکل ۵). بنابراین سطوح مختلف نور UV-B، میزان فعالیت هر سه آنژیم مذکور را در مقایسه با ریشه‌های موین شاهد افزایش داده است.

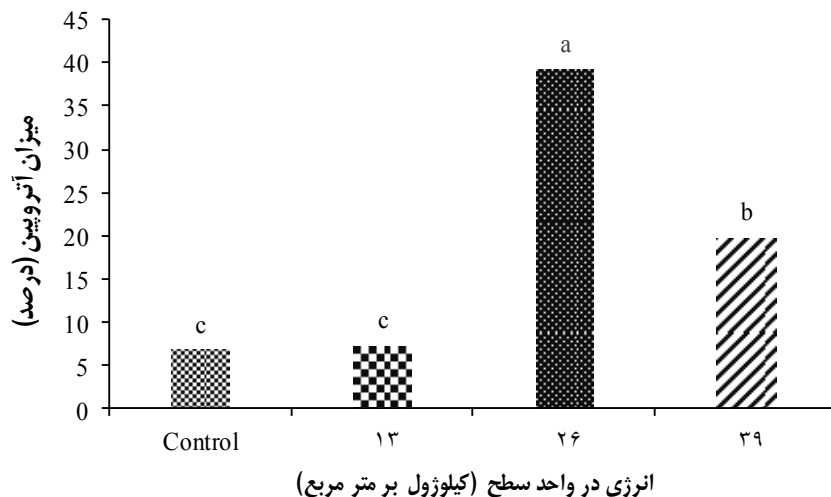
تولید آتروپین (۳۹/۲۶ درصد) در اثر تیمار ریشه‌های موین با انرژی ۲۶ کیلوژول بر متر مربع اشعه UV-B به دست آمد که نسبت به ریشه‌های موین شاهد (۶/۸۸ درصد) حدود ۵/۷ برابر افزایش نشان داد و حداقل میزان تولید آتروپین مربوط به ریشه‌های موین شاهد بود (شکل ۲).

جدول ۲- نتایج تجزیه واریانس تأثیر سطوح مختلف اشعه UV-B بر تولید آکالوئید آتروپین در ریشه‌های موین شایبزک

میزان آزادی	منابع تغییرات
۳	UV-B
۸	اشتباه آزمایشی
۹/۱۵	ضریب تغییرات (درصد)

\*\*: نشان‌دهنده اختلاف معنی‌دار در سطح احتمال ۱ درصد می‌باشد.

تأثیر اشعه UV-B بر فعالیت آنژیمهای آنتیاکسیدانی: نتایج تجزیه واریانس تأثیر سطوح مختلف نور UV-B بر

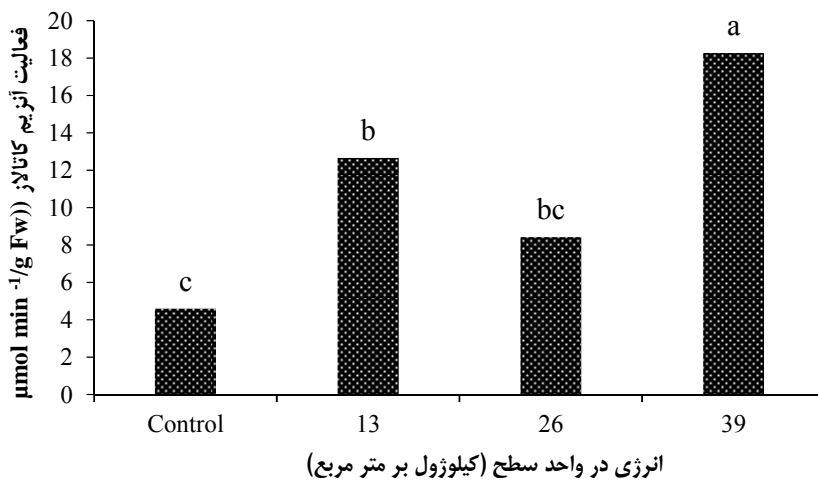


شکل ۲- مقایسه میانگین تأثیر سطوح مختلف اشعه UV-B بر میزان تولید آکالوئید آتروپین در ریشه‌های موین شایبزک. حروف مشابه نشان دهنده عدم اختلاف معنی‌دار در سطح احتمال ۱ درصد آزمون دانکن می‌باشد.

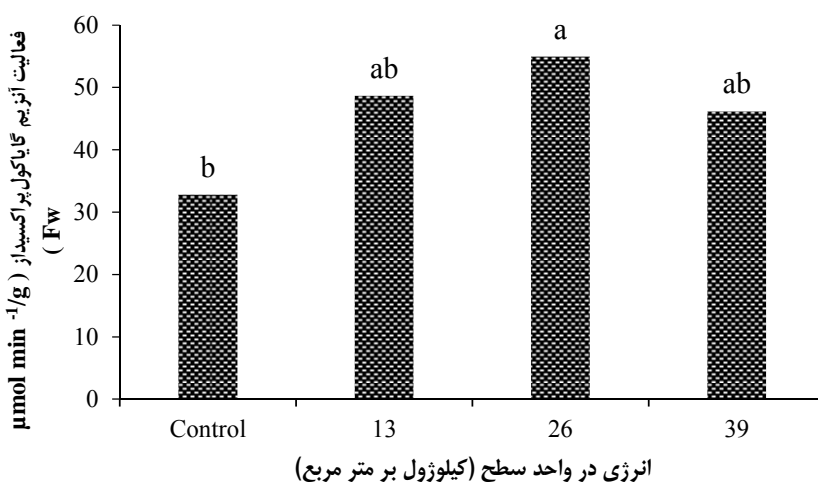
جدول ۳- نتایج تجزیه واریانس تأثیر سطوح مختلف نور UV-B بر میزان فعالیت آنزیمهای آنتی‌اکسیدانی ریشه‌های موین شابیزک

میانگین مریعات				منابع تغییرات
آسکوربیات پراکسیداز	گایاکول پراکسیداز	کاتالاز	درجه آزادی	
۴۱/۹۶**	۲۶۱/۳۴**	۱۰۳/۱۹**	۳	UV-B
۲/۴۵	۲۲/۱۹	۲/۵۵	۸	
۱۶/۲۷	۱۰/۳۱	۱۴/۵۲	ضریب تغییرات (درصد)	

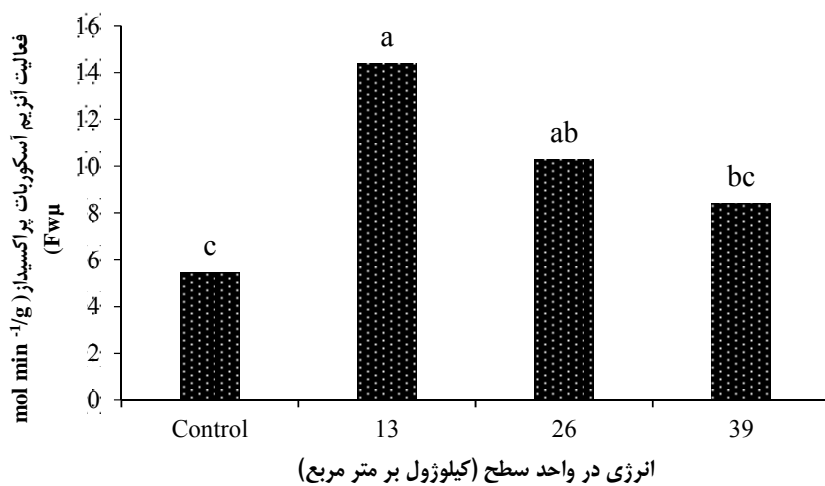
\*\*: نشان‌دهنده اختلاف معنی دار در سطح احتمال ۱ درصد می‌باشد.



شکل ۳- مقایسه میانگین تأثیر سطوح مختلف UV-B بر میزان فعالیت آنزیم کاتالاز ریشه‌های موین شابیزک. حروف مشابه نشان‌دهنده عدم وجود اختلاف معنی دار در سطح احتمال ۱ درصد می‌باشد.



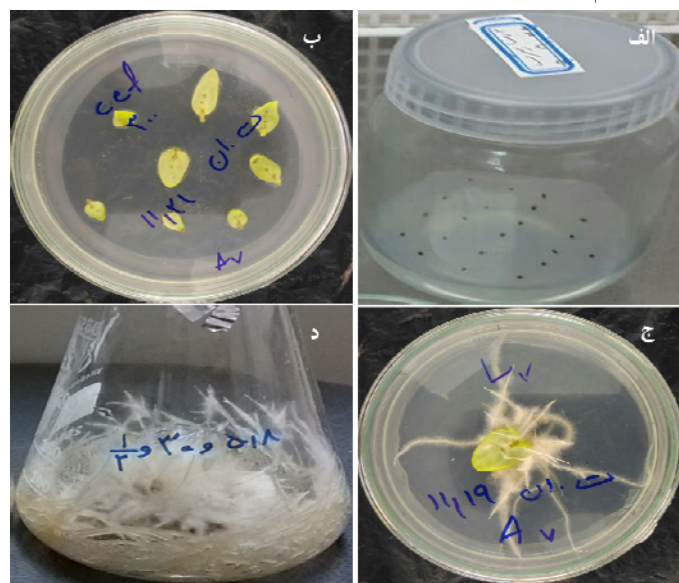
شکل ۴- مقایسه میانگین تأثیر سطوح مختلف UV-B بر میزان فعالیت آنزیم گایاکول پراکسیداز ریشه‌های موین شابیزک. حروف مشابه نشان‌دهنده عدم وجود اختلاف معنی دار در سطح احتمال ۱ درصد می‌باشد.



شکل ۵- مقایسه میانگین تأثیر سطوح مختلف UV-B بر میزان فعالیت آنزیم آسکوربیات پراکسیداز ریشه‌های مویین شابیزک. حروف مشابه نشان‌دهنده عدم وجود اختلاف معنی دار در سطح احتمال ۱ درصد می‌باشد.

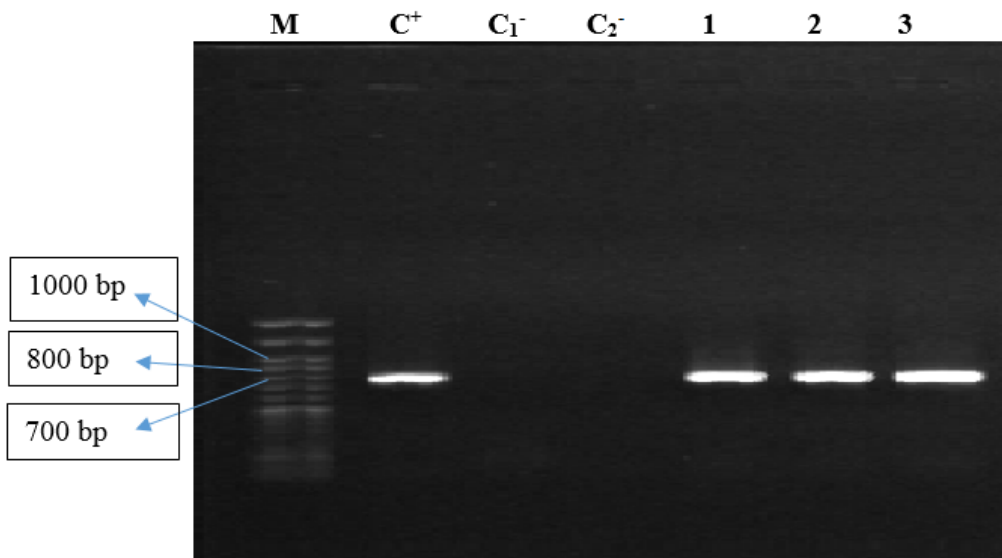
تواند حاکی از تاریخت شدن ریزنمونه‌های گیاهی باشد (شکل ۷). همچنین ریشه‌های مویین تولید شده از نظر مورفولوژی خصوصیاتی از قبیل رشد سریع، انشعابات فرعی زیاد در محیط فاقد هورمون را از خود بروز دادند و براحتی از ریشه‌های معمولی قابل تشخیص بودند.

تایید تاریختی ریشه‌های مویین: پس از القای ریشه مویین از کوتیلدون گیاه شابیزک برای تایید تاریختی آن از استفاده گردید (شکل ۶ الف تا د). واکنش زنجیره ای PCR پلی مراز (PCR) با استفاده از آغازگر اختصاصی ژن *rol B* منجر به تکثیر قطعه‌ای به طول ۷۸۰ bp گردید که وجود باندهای درخشنان از ژن *rol B* در ژنوم ریشه‌های مویین می



شکل ۶- القای ریشه مویین در ریزنمونه‌های کوتیلدونی گیاه شابیزک

الف) بدوز شابیزک کشت شده در محیط MS (جامد ب) ریزنمونه‌های کوتیلدونی تلقیح شده با سویه A7 (اگروباکتریوم رایزوژنژ) ظهور ریشه‌های مویین از ریزنمونه کوتیلدونی (د) رشد ریشه‌های مویین در محیط مایع ۱/۲MS



شکل ۷ - آنالیز واکنش زنجیره‌ای پلی مراز جهت تایید حضور ژن *rol B* در ریشه‌های تاریخت شاپیزک. M: DNA مارکر 1kb (Fermentase). C<sup>+</sup>: باکتری اگروباکتریوم سویه A7 به عنوان کنترل مثبت، C<sub>1</sub><sup>-</sup>: ریشه‌های شاهد غیرتاریخت به عنوان کنترل منفی اول، C<sub>2</sub><sup>-</sup>: واکنش PCR بدون الگوی DNA به عنوان کنترل منفی دوم، لاین ۱ تا ۳ ریشه‌های موین القاشده در ریزنمونه‌های برگ یک هفت‌ماهی توسط سویه A7 اگروباکتریوم رایزوژن.

پاسخهای دفاعی و شرکت در انتقال درون‌سلولی و برون‌سلولی بافت‌های گیاهی، تأثیر خود را اعمال می‌کنند (۸). مطالعات نشان داده است که پرتوهای فرابنفش باعث فعالیت آنزیم PAL می‌شود، که آنزیم کلیدی بین متابولیسم اولیه و ثانویه در گیاهان است که عمل اصلی آن دامینه کردن L-فنیل آلانین و تولید ترانس سینامیک اسید است که به عنوان پیش ماده در مسیرهای بیوسنتر متابولیتهای ثانویه مختلف می‌باشد (۳۱). به طورکلی، اشعه UV-B می‌تواند از طریق آسیب رساندن به DNA، افزایش تولید گونه‌های فعال اکسیژن (ROS)، فعال کردن مسیرهای سیگنال‌دهی در گیاه و القای بیان ژنهای درگیر در مسیرهای مختلف بیوسنتری، باعث افزایش تولید متابولیتهای ثانویه شود (۲۴) و Wang (۳۳) همکاران تولید تانشیون و کریپتوتانشیون را در کشت ریشه‌های موین گیاه *Salvia miltiorrhiza* تحت تیمار UV-B بررسی کردند. نتایج نشان داد که سطوح مختلف UV-B تولید هردو ماده را افزایش داده است (۳۰). برای تایید تاریختگی باکتری اگروباکتریوم رایزوژن با انتقال قطعه T-DNA حاوی ژن ریشه زایی به سلولهای گیاهی آنها را تاریخت می‌نماید.

## بحث

علت اصلی کاهش وزن تر این است که اشعه UV-B از تقسیم سلولی جلوگیری می‌کند. کاهش تقسیم سلولی به دلیل اکسیداسیون توبولین‌ها تحت تأثیر اشعه UV است که باعث تأخیر در تشکیل میکروتوبول‌ها و کاهش میزان تقسیم می‌شود و همچنین اشعه UV مانع از رونویسی پروتئینهای هیستون شده و بدین طریق مانع تقسیم سلولی با UV-B نیز، اختلال در بیوسنتر و انتقال تنظیم‌کننده‌های رشد مانند IAA می‌باشد که این اختلال در انتقال هورمونها رشد طولی ریشه را بیشتر تحت تأثیر قرار می‌دهد (۹). مطالعات زیادی نشان داده است که UV-B از طریق کاهش فتوسنتز، کاهش سنتز پروتئین، اختلال در عمل کلروپلاست و آسیب به DNA، باعث کاهش رشد و نمو و کاهش بیوماس می‌شود (۶).

در پژوهش حاضر، سطوح مختلف اشعه UV-B به عنوان یک محرك غیرزیستی، میزان تولید آتروپین را به طور موثری تحت تأثیر قرار داد. محركها عمداً با القای

اکسیدان‌ها مکانیسم‌های حفاظتی خاصی دارند که مولکولها و آنزیمهای آنتی‌اکسیدان از آن جمله می‌باشند. آنتی‌اکسیدانها به ۳ گروه کلی تقسیم‌بندی می‌شوند: ترکیبات غشائی و محلول در چربی مثل آلفاتوکوفرول و کاروتونوئیدها، ترکیبات قابل حل در آب مثل آسکوربات، گلوتاتیون، ترکیبات فنا، فلاونوئیدها و آنتوسیانینها و آنزیمهای نظیر سوپراکسیدیسموتاز، کاتالاز، پراکسیداز، آسکوربات‌پراکسیداز و گلوتاتیون رداکتاز. آنزیم سوپراکسیدیسموتاز، یکی از جاروب کننده‌های اصلی  $O_2^-$  می‌باشد و عمل آنزیمی آن منجر به تولید  $H_2O_2$  و  $O_2$  می‌گردد. کاتالاز نیز یکی از انواع پراکسیدازها است که شکستن  $H_2O_2$  را کاتالیز می‌نماید. کاتالاز که ظاهراً در کلروپلاست وجود ندارد  $H_2O_2$  را به آب و مولکول  $O_2$  می‌شکند درحالی که پراکسیدازها،  $H_2O_2$  را با اکسید نمودن یک سوبسکرای همراه نظیر ترکیبات فنا و یا سایر آنتی‌اکسیدانها نظیر آسکوربات تجزیه می‌کنند (۲۴ و ۳۲). آنتی‌اکسیدانها نظیر آسکوربات تحت تأثیر اشعه UV-B مورد بررسی قرار دادند. نتایج نشان داد که سطوح مختلف UV-B میزان بیوماس کل را کاهش اما میزان تولید ترکیبات آلکالوئیدی و فعالیت آنزیمهای آنتی‌اکسیدانی را افزایش داده است (۲۶). مطالعات نشان داده است که تاریختی توسط اگروباکتریوم سبب افزایش آنزیمهای آنتی‌اکسیدانی و فعال شدن سیستم‌های دفاعی می‌شود. افزایش فعالیت آنزیمهای آنتی‌اکسیدانی ممکن است به دلیل تحریک برخی از ژنهای مربوط به دفاع در برابر عوامل خارجی همانند ویروسها یا ویروئیدها باشد (۲۹).

در مطالعه حاضر که میزان آتروپین در تیمار UV-B با شدت ۲۶ کیلو ژول بر متر مربع باعث افزایش میزان آتروپین در عصاره گردید که نسبت به گیاه شاهد به ۸ برابر رسیده بود و ۴۰ درصد مقدار عصاره را تشکیل می‌داد. گرچه نورفرابنفش باعث ایجاد تنفس در گیاه شد و افزایش فعالیت

(۲۷). در مطالعه حاضر تاریختی ریزنمونه کوتیلدونی گیاه شایزیک و ایجاد ریشه‌های مویین با اگروباکتریوم رایزوژنز سویه A7 با انتقال ژن *rol* صورت گرفت. اگرچه رشد پلاژیوتریپک (ورین‌گرا، سوگرانی به صورت انشعابات افقی) سریع با تولید انشعابات فراوان در محیط کشت فاقد هورمون، معرف ریشه‌های مویین مورد مطالعه بود (۱۴). با توجه به اینکه ریشه‌های مویین در واکشت‌های مختلف در محیط کشت جامد و همچنین در محیط کشت مایع بدون آنتی‌بیوتیک سفوتابکسیم فاقد هر گونه آسودگی اگروباکتریوم بودند، لذا احتمال حضور باکتری در فضاهای بین سلولی تقریباً صفر بود. با این حال بررسی ماهیت تاریخته آنها توسط تکنیک PCR انجام شد و تکثیر قطعه ۷۸۰ جفت بازی مربوط به ژن *rolB* بیانگر تاریخت بودن گیاهان مورد نظر بود. اخیراً مشخص شده است که ژن‌های *rol* نقش فعال کننده‌کی در تولید متابولیتهای ثانویه در خانواده‌های مختلف از جمله سولاناسه داشته به نحوی که در بعضی موارد، تأثیر فعال کننده‌کی یک تک ژن *rol* برای غلبه بر کمبود تولید متابولیتهای ثانویه در سلولهای گیاهی کشت شده کافی بوده است (۳۲).

اعشه UV-B به طور موقت باعث تحریک تولید رادیکالهای آزاد اکسیژن (ROS) می‌شود، ولی بلاfacسله پس از برقراری مقاومت القایی و ارسال هشدارهای لازم برای برقراری مقاومت سیستمیک، خود به عنوان آنتی‌اکسیدان عمل کرده و سیستم‌های آنتی‌اکسیدانی را در سلولهای گیاهی فعال و باعث حذف رادیکالهای آزاد می‌شود (۲۵). اشعه UV-B منجر به افزایش فعالیت آنزیم فنیل آلانین آمونیالیاز (PAL) شده و در نتیجه باعث سنتز سینامیک اسید و فعال شدن مسیر بیوسترزی ترکیبات فنیل پروپانوئیدی می‌گردد که از طریق افزایش میزان ترکیبات فنا باعث حذف رادیکالهای آزاد می‌شود (۴). اشعه UV-B پاسخ‌های حفاظتی (فعال کردن آنزیمهای آنتی‌اکسیدانی) در داخل گیاهان تولید نموده و از طریق حذف رادیکالهای آزاد اکسیژن بافت‌های گیاهی را محافظت می‌نماید (۷). گیاهان برای مقابله با این

در سطح آزمایشگاهی چشم انداز خوبی برای مطالعات تجاری این ماده از طریق کشت ریشه موین ترسیم نماید.

آنژیمهای آنتی اکسیدانی گواه این حقیقت است ولی با افزایش چندین برابری آتروپین باعث شد که نتایج حاضر

## منابع

- 1- Aebi, H. 1984. Catalase in vitro. Methods in enzymology. 105: 121-126.
- 2- Bischof, K., Peralta, G., Kräbs, G., Van De Poll, W.H., Pérez-Lloréns, J.L. and Breeman, A.M. 2002. Effects of solar UV-B radiation on canopy structure of *Ulva* communities from southern Spain. Journal of experimental botany. 53(379): 2411-2421.
- 3- Booij-James, I.S., Dube, S.K., Jansen, M.A., Edelman, M. and Mattoo, A.K. 2000. Ultraviolet-B radiation impacts light-mediated turnover of the photosystem II reaction center heterodimer in *Arabidopsis* mutants altered in phenolic metabolism. Plant Physiology. 124(3): 1275-1284.
- 4- Chang, A., Lim, M.H., Lee, S.W., Robb, E.J. and Nazar, R.N. 2008. Tomato phenylalanine ammonia-lyase gene family, highly redundant but strongly underutilized. Journal of Biological Chemistry. 283(48): 33591-33601.
- 5- Dechaux, C. and Boitel-Conti, M. 2005. A strategy for overaccumulation of scopolamine in *Datura innoxia* hairy root cultures. Acta Biologica Cracoviensis Series Botanica. 47(1): 101-107.
- 6- Frohnmyer, H. and Staiger, D. 2003. Ultraviolet-B radiation-mediated responses in plants. Balancing damage and protection. Plant physiology. 133(4): 1420-1428.
- 7- Giordano, C.V., Mori, T., Sala, O.E., Scopel, A.L., Caldwell, M.M. and Ballaré, C.L. 2003. Functional acclimation to solar UV-B radiation in *Gunnera magellanica*, a native plant species of southernmost Patagonia. Plant, Cell & Environment. 26(12): 2027-2036.
- 8- Goel, M.K., Mehrotra, S. and Kukreja, A.K. 2011. Elicitor-induced cellular and molecular events are responsible for productivity enhancement in hairy root cultures: an insight study. Applied biochemistry and biotechnology. 165(5-6): 1342-1355.
- 9- Hassan, I.A., Basahi, J.M. and Kadi, M.W. 2012. Physiological and biochemical impairment in bean plants due to supplementary ultraviolet radiation and water stress. Possible protective roles of secondary metabolites. Australian Journal of Basic and Applied Sciences. 6: 552- 563.
- 10-Hopkins, L., Bond, M.A. and Tobin, A.K. 2002. Ultraviolet-B radiation reduces the rates of cell division and elongation in the primary leaf of wheat (*Triticum aestivum* L. Cv Maris Huntsman). Plant, Cell and Environment. 25(5): 617-624.
- 11-Kamada, H., Okamura, N., Satake, M., Harada, H. and Shimomura, K. 1986. Alkaloid production by hairy root cultures in *Atropa belladonna*. Plant cell reports. 5(4): 239-242.
- 12-Kang, H.M. and Saltveit, M.E. 2002. Chilling tolerance of maize, cucumber and rice seedling leaves and roots are differentially affected by salicylic acid. Physiologia Plantarum. 115(4): 571-576.
- 13-Khan, S., Qureshi, M.I., Alam, T. and Abdin, M.Z. 2007. Protocol for isolation of genomic DNA from dry and fresh roots of medicinal plants suitable for RAPD and restriction digestion. African Journal of Biotechnology. 6(3): 175.
- 14-Królicka, A., Staniszewska, I., Bielawski, K., Maliński, E., Szafranek, J. and Łojkowska, E. 2001. Establishment of hairy root cultures of *Ammi majus*. Plant Science. 160(2), 259-264.
- 15-Landry, L.G., Chapple, C.C. and Last, R.L. 1995. *Arabidopsis* mutants lacking phenolic sunscreens exhibit enhanced ultraviolet-B injury and oxidative damage. Plant physiology. 109(4): 1159-1166.
- 16-Liu, Q., Callaghan, T.V. and Zuo, Y. 2004. Effects of elevated solar UV-B radiation from ozone depletion on terrestrial ecosystems. Journal of Mountain science. 1(3): 276-288.
- 17-Mittler, R. 2002. Oxidative stress, antioxidants and stress tolerance. Trends in plant science. 7(9): 405-410.
- 18-Nakano, Y. and Asada, K. 1981. Hydrogen peroxide is scavenged by ascorbate-specific peroxidase in spinach chloroplasts. Plant and Cell Physiology. 22(5): 867-880.
- 19-Palazón, J., Navarro-Ocaña, A., Hernandez-Vazquez, L. and Mirjalili, M.H. 2008. Application of metabolic engineering to the production of scopolamine. Molecules. 13(8): 1722-1742.
- 20-Paul, N.D. and Gwynn-Jones, D. 2003. Ecological roles of solar UV radiation: towards an integrated approach. Trends in Ecology & Evolution. 18(1): 48-55.
- 21-Rao, M.V., Paliyath, G. and Ormrod, D.P. 1996. Ultraviolet-B-and ozone-induced biochemical changes in antioxidant enzymes of *Arabidopsis thaliana*. Plant physiology. 110(1): 125-136.
- 22-Roy, S., Sen, C.K. and Hänninen, O. 1996. Monitoring of polycyclic aromatic hydrocarbons using 'moss bags': Bioaccumulation and responses of antioxidant enzymes in *Fontinalis antipyretica* Hedw. Chemosphere. 32(12): 2305-2315.
- 23-Santos, I., Almeida, J. and Salema, R. 1999. The influence of UV-B radiation on the superoxide dismutase of maize, potato, sorghum, and wheat leaves. Canadian journal of botany. 77(1): 70-76.

- 24-Schreiner, M., Mewis, I., Huykens-Keil, S., Jansen, M.A.K., Zrenner, R., Winkler, J. B. and Krumbein, A. 2012. UV-B-induced secondary plant metabolites-potential benefits for plant and human health. Critical Reviews in Plant Sciences. 31(3): 229-240.
- 25-Takshak, S. and Agrawal, S.B. 2014. Effect of ultraviolet-B radiation on biomass production, lipid peroxidation, reactive oxygen species, and antioxidants in *Withania somnifera*. Biologia plantarum. 58(2):328-334.
- 26-Takshak, S. and Agrawal, S. B. (2015). Defence strategies adopted by the medicinal plant *Coleus forskohlii* against supplemental ultraviolet-B radiation: Augmentation of secondary metabolites and antioxidants. Plant Physiology and Biochemistry, 97, 124-138.
- 27-Tomilov, A., Tomilova, N. and Yoder, J.I. 2007. *Agrobacterium tumefaciens* and *Agrobacterium rhizogenes* transformed roots of the parasitic-plant *Triphysaria versicolor* retain parasitic competence. *Planta*, 225: 1059-1071.
- 28-Tripathi, L. and Tripathi, J.N. 2003. Role of biotechnology in medicinal plants. Tropical Journal of Pharmaceutical Research. 2: 243-253.
- 29-Victor and. Zhuravlev, Inhibitory effect of the *Agrobacterium rhizogenes* rolC gene on radosiin and rosmarinic acid production in *Eritrichium sericeum* and *Lithospermum erythrorhizon* transformed cell cultures, *Planta Med.* 2005. 221: 471-478.
- 30-Wang, C. H., Zheng, L. P., Tian, H. and Wang, J. W. 2016. Synergistic effects of ultraviolet-B and methyl jasmonate on tanshinone biosynthesis in *Salvia miltiorrhiza* hairy roots. *Journal of Photochemistry and Photobiology B: Biology*, 159, 93-100.
- 31-Wang, J.W., Zheng, L.P., Wu, J.Y. and Tan, R.X. 2006. Involvement of nitric oxide in oxidative burst, phenylalanine ammonia-lyase activation and Taxol production induced by low-energy ultrasound in *Taxus yunnanensis* cell suspension cultures. *Nitric Oxide*. 15(4): 351-358.
- 32-Yang, C., Chen, M., Zeng, L., Zhang, L., Liu, X., Lan, X. and Liao, Z. 2011. Improvement of Tropane alkaloids production in hairy root cultures of '*Atropa belladonna*' by overexpressing pmt and h6h genes. *Plant omics*, 4(1), 29-33.
- 33-Zhang, W.J. and Björn, L.O. 2009. The effect of ultraviolet radiation on the accumulation of medicinal compounds in plants. *Fitoterapia*. 80(4): 207-218.

## Study on UV-B irradiation impact on atropine content and antioxidant enzymes activity in Atropa (*Atropa belladonna* L.) plant hairy roots

Karjo AjirluB. and Fattahi M.

Dept. of Horticulture, Faculty of Agriculture, Urmia University, Urmia, I.R. of Iran

### Abstract

*Atropa Belladonna* L. is the most important medicinal plant of Solanaceae family, due to important commercial sources of atropine and scopolamine as tropane alkaloids. Applications of hairy root cultures is advised because of their special properties such as fast growth, short doubling time, ease of maintenance, and ability to synthesize and continuous production of a range of chemical compounds. Effects of ozone depletion and UV irradiation have been studied by most of investigators. In the present study, the effect of different levels of UV-B irradiation were studied on atropine production and activity of some antioxidant enzymes. UV-B irradiation during 3 days were treated for 4, 8 and 12 min that was equal with 13, 26 and 39 kJ/m<sup>2</sup> respectively. Results showed that increase of UV-B lending to decrease hairy roots dry weight. This irradiation increased atropine content in comparison of control treat and the highest were recorded in 26 kJ/m<sup>2</sup>. Activity of antioxidant enzymes including catalase, guaiacol peroxidase and ascorbate peroxidase was also elevated in treated hairy roots rather than of the control at 0.01% of probability. Based on obtained results in this work UV-B irradiation can be considered as one of useful methods for Atropine and antioxidant enzymes in *A. belladonna* hairy roots.

**Keywords:** Atropine, antioxidant enzymes, UV-B irradiation, Atropa, hairy roots